
Synthèse de contraintes de conception à partir de réseaux de Petri temporels paramétrés

Louis-Marie Traonouez, David Delfieu et Olivier H. Roux

IRCCyN, 1 rue de la Noë, BP 92101, 44321 Nantes Cedex 3, France

02-40-37-69-16

Louis-Marie.Traonouez@ircsyn.ec-nantes.fr

RÉSUMÉ. Un système temps réel est décomposé en composants appelés modules. L'objectif est de garantir des contraintes temporelles projetées sur ces modules sous la forme de contraintes paramétrées. Pour cela un ensemble de contraintes de conception est calculé. Le modèle sur lequel est basé cette approche est celui des réseaux de Petri temporels paramétrés, traduits en formules de Logique Linéaire.

ABSTRACT. A real time system is decomposed in components called modules. The objective is to guarantee temporal constraints which are projected on these modules on a parametrized constraint form. To achieve this, a set of conception constraints is computed. The model on which is based this approach is a parametrized time Petri net, translated in Linear Logic formulae.

MOTS-CLÉS : Réseaux de Petri temporels, paramètres, logique linéaire, contraintes temporelles, conception des systèmes temps réel.

KEYWORDS: Time Petri nets, parameters, Linear Logic, timed constraints, real-time systems design.

1. Introduction

Le cahier des charges d'une application informatique est en général formulé en langage naturel. Il est donc soumis à l'interprétation des rédacteurs de la spécification, ce qui est source d'erreurs. Par ailleurs, pour des programmes d'une taille raisonnable, il est impossible, pour le concepteur, d'appréhender toutes les interactions entre les différents composants. Les méthodes formelles visent à offrir un cadre mathématique permettant de décrire de manière précise et stricte les systèmes et programmes que nous voulons construire. Dans ce cadre mathématique, le système est décrit par un système de transitions étiquetées (ou par un modèle permettant d'abstraire un tel système comme les automates, les réseaux de Petri, les algèbres de processus...), et la spécification de la correction du système est décrite par des propriétés qui peuvent être exprimées sous la forme d'observateurs du modèle ou dans une logique particulière telle que les logiques temporelles.

Parmi les méthodes formelles, le model-checking est une procédure automatique qui permet de vérifier qu'un modèle d'un système S satisfait une spécification décrite par une propriété φ .

Conception d'un Système Temps Réel

Dans le cycle de développement d'un système, les étapes de spécification et de conception architecturale amènent à réaliser une décomposition du système en sous-ensembles (modules ou objets) devant être réalisés séparément puis composés (assemblés). Cette démarche peut également faire appel à la notion d'objet hiérarchique.

Cette décomposition est généralement réalisée à partir des contraintes fonctionnelles du système. Elle permet de définir l'architecture logicielle du système qui, projetée sur l'architecture matérielle, fournira l'architecture opérationnelle. Cependant, certaines spécifications non fonctionnelles telles que les spécifications temporelles du système global ne peuvent pas être partitionnées en un ensemble de spécifications à appliquer à chaque module de cette décomposition.

La solution qui consiste alors à projeter les propriétés temporelles φ du système sur les modules de l'architecture opérationnelle, pose le problème majeur de la compositionnalité, c'est à dire : le fait que chaque module vérifie la projection de φ garantit-il que le système complet vérifiera φ ? On peut traiter ce problème en effectuant une projection *pessimiste* et non optimale afin de garantir la compositionnalité mais au prix de contraintes trop strictes pouvant rendre difficile la réalisation (l'implémentation) des modules.

Nous proposons de faire une projection paramétrée des propriétés sur les modules. En plus de son architecture fonctionnelle, un module dispose alors des informations suivantes :

- les contraintes fonctionnelles ou non qui lui sont propres, donc sans paramètre ;
- les contraintes temporelles qu'il partage avec d'autres modules, donc paramétrées.

Notre méthode consiste à prendre l'ensemble de ces informations pour déterminer les contraintes paramétrées aux frontières de chaque module. Elles seront appelées *contraintes de conception*. Cette démarche présente les avantages suivants :

- Chaque module dispose de toutes les contraintes qu'il doit vérifier.
- À partir de l'ensemble des contraintes générées, on peut savoir en utilisant un solveur si une solution existe ou non et reprendre la conception en amont si cela est nécessaire.
- Dans la phase d'assemblage, les modules partageant le même paramètre sont d'abord regroupés afin de vérifier la (ou les) propriété(s) associée(s) à ce paramètre. Si la propriété n'est pas vérifiée, le problème est traité sur cet ensemble de modules et non sur le système complet.

Exemple

Illustrons cette démarche sur un exemple théorique très simple. Nous considérons un système S , dont la décomposition fonctionnelle est une séquence de deux modules A et B : $S = A; B$. Le module B est lui-même décomposé en une séquence de deux modules : $B = B_1; B_2$. De plus, la durée d'exécution du module B_1 est imposée : $dB_1 = 2 \text{ ms}$.

Une contrainte temporelle est fixée sur ce système : la durée d'exécution totale du système doit être inférieure à 10 ms .

La méthode que nous proposons, permet à partir de la projection de cette contrainte sur les modules de déterminer la contrainte de conception : $dA + dB_2 \leq 8$, où dA et dB_2 représentent respectivement les temps d'exécution des modules A et B_2 . Cette contrainte fournit un guide aux concepteurs du système pour développer les modules A et B_2 . En s'assurant qu'elle est vérifiée, ils garantissent que la propriété temporelle initiale (durée d'exécution inférieure à 10 ms) est vérifiée.

Contribution et plan de l'article

Le travail décrit dans cet article consiste, à partir du modèle formel d'un module et de ses contraintes paramétrées, à calculer un ensemble de contraintes appelées *contraintes de conception* du module. Le système complet peut alors être vérifié par compositionnalité : le système complet vérifiera ses contraintes temporelles si l'ensemble des contraintes de conception des modules est vérifié. La section 2 décrit la méthode et l'algorithme permettant de déterminer les contraintes de conception d'un module. Cette méthode est ensuite illustrée de manière détaillée dans la section 3 sur un exemple extrait (sans modification) d'une application industrielle qui nous a été fournie par un grand groupe Européen du temps réel embarqué (que nous n'avons pas eu l'autorisation de nommer). Enfin, nous terminons par une conclusion.

2. Méthode de synthèse des contraintes de conception

2.1. Introduction

La synthèse de *contraintes de conception* que nous proposons s'inscrit dans une méthode générale que nous décrivons succinctement ci-après.

2.1.1. Présentation de la méthode générale

Le préambule à cette méthode est la projection des contraintes temporelles sur les modules de l'architecture opérationnelle. Les contraintes de conception sont alors déterminées sur chacun des modules, et ces derniers sont ensuite assemblés. Ce processus est itéré jusqu'à l'obtention des contraintes de conception du système complet. Reprenons l'exemple précédent pour illustrer ces deux phases.

Projection des contraintes temporelles : la première étape consiste à projeter la contrainte globale sur les modules. Formalisons ce problème : notons $\theta_d(\cdot)$ (respectivement $\theta_f(\cdot)$) les dates de début (respectivement de fin) d'exécution d'un module. La propriété à vérifier s'écrit : $\theta_f(S) - \theta_d(S) \leq 10$. La projection de cette propriété sur les modules A et B est $\theta_f(B) - \theta_d(A) \leq 10$, ce qui introduit deux paramètres communs $\theta_f(B)$ et $\theta_d(A)$. Cette contrainte projetée sur B_1 et B_2 devient $\theta_f(B_2) - \theta_d(A) \leq 10$.

Assemblage des modules : À partir de ces projections l'algorithme 1 présenté dans la suite de cet article, permet de remonter les contraintes aux frontières des modules. Sur le module B_2 , sachant que $\theta_f(B_2) = \theta_d(B_2) + dB_2$, une nouvelle propriété à vérifier $\theta_d(B_2) + dB_2 - \theta_d(A) \leq 10$ est identifiée (les frontières du module B_2 sont les deux paramètres $\theta_d(B_2)$ et dB_2). Les modules sont alors assemblés en identifiant les paramètres communs : $\theta_d(B_2) = \theta_f(B_1)$.

Le processus est alors itéré sur B_1 . On obtient : $\theta_d(B_1) + dB_2 - \theta_d(A) \leq 8$. Puis sur A , en faisant la liaison de B_1 vers A : $\theta_d(B_1) = \theta_d(B) = \theta_f(A)$. On obtient finalement la contrainte de conception : $dA + dB_2 \leq 8$.

2.1.2. Principe de détermination des contraintes de conception

Au sein de la méthode générale précédemment décrite, l'essentiel de notre contribution est la détermination des contraintes de conception d'un module ou d'un ensemble de modules. Détaillons maintenant le principe.

La décomposition du système a permis de définir des modules paramétrés, sur lesquels des contraintes fonctionnelles et temporelles sont fixées. À partir de ces spécifications, nous avons développé un algorithme qui permet de déterminer les contraintes de conception d'un module. Le principe général de cette méthode est décrit sur le schéma de la figure 1.

Nous considérons le modèle formel d'un module, défini par un réseaux de Petri temporel paramétré, sur lequel il nous faut vérifier les contraintes temporelles. Pour cela nous analysons le RdP à l'aide d'un processus de preuve en logique linéaire afin de déterminer un ensemble (I) d'inéquations portant sur les dates de tir des transitions de ce réseau. Par ailleurs, nous traduisons les contraintes à vérifier en un autre ensemble (ϕ) d'inéquations. À l'aide de ces deux ensembles, l'algorithme 1 développé permet de déterminer un ensemble (ψ) d'inéquations, portant sur les paramètres du module, qui est suffisant pour vérifier les contraintes temporelles.

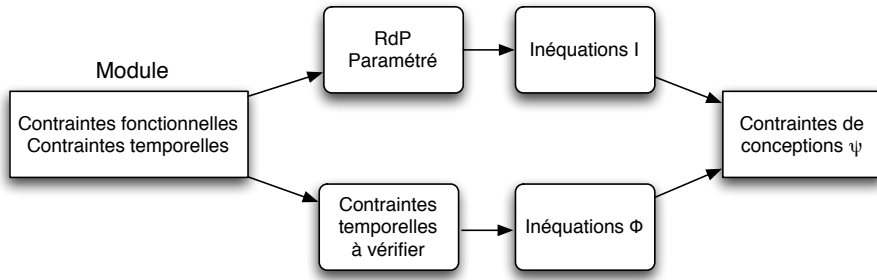


Figure 1. Méthode de synthèse de contraintes de conception

2.2. Réseaux de Petri T-temporels paramétrés

Nous définissons les RdP T-temporels paramétrés, en considérant un ensemble de paramètres $Q = \{q_1, \dots, q_n\}$. Nous définissons une valuation de ces paramètres comme une fonction $\nu : Q \rightarrow \mathbb{R}^+$.

Définition 1 (Réseau de Petri T-temporel paramétré)

Un réseau de Petri T-temporel, paramétré par un ensemble de paramètres Q , est un 7-uplet $(P, T, \bullet(\cdot), (\cdot)\bullet, \alpha, \beta, M_0)$ où :

- P est un ensemble fini de places,
- T est un ensemble fini de transitions, avec $P \cap T = \emptyset$,
- $\bullet(\cdot) \in (\mathbb{N}^P)^T$ est la fonction d'incidence amont,
- $(\cdot)\bullet \in (\mathbb{N}^P)^T$ est la fonction d'incidence aval,
- $M_0 \in \mathbb{N}^P$ est le marquage initial,
- $\alpha \in (\mathbb{R}^+ \cup Q)^T$ et $\beta \in (\mathbb{R}^+ \cup Q \cup \{\infty\})^T$ sont les fonctions donnant pour chaque transition, respectivement son instant de tir au plus tôt et au plus tard (avec $\alpha \leq \beta$).

La sémantique concrète d'un RdPT paramétré N , définie pour une valuation ν , et notée $[N]_\nu$, est une sémantique de type monoserveur ou une transition sensibilisée ne

peut pas dépasser sa borne temporelle maximale (sémantique forte) [BER 91]. Pour rendre possible le processus de compositionnalité nous restreignons notre démarche au cadre de réseaux de Petri T-temporels saufs [MER 74].

2.3. Traduction du réseau en Logique Linéaire

La suite de la démarche est de traduire le réseau en Logique Linéaire [GIR 87]. L'analyse d'un RdPT est traditionnellement un calcul exploratoire de type graphe des classes [BER 91] ou graphe des zones [GAR 03]. En logique linéaire, nous réalisons cette analyse grâce à un processus de preuve de séquents de logique linéaire (un séquent correspondant à un scénario). Nous nous basons pour cela sur des travaux montrant une équivalence entre les séquents de logique linéaire et les scénarios dans les réseaux de Petri [GIR 97, PRA 99].

Définition 2 (Scénario) *Un scénario est un ensemble de franchissements de transition (événements) qui permet de passer d'un marquage initial M à un marquage final M' [PRA 99].*

Tout comme les techniques de dépliage des RdP [MCM 95, CHA 06], l'analyse de scénarios par la logique linéaire est une approche « événements » de model-checking, à opposer aux approches « états » citées précédemment. Un événement e représente le tir d'une transition t du réseau à une date de tir symbolique $\theta(e)$. On note Θ l'ensemble des dates de tir d'un scénario. Ainsi, un événement résout tout conflit qui implique la transition. La notion de scénario se rapproche donc de celle de processus dans les dépliages. Les scénarios considérés dans cet article seront finis.

Une méthode d'analyse, en sémantique forte, de scénarios exprimés en logique linéaire, a été développée à partir de ces travaux [DEL 07]. Elle produit in fine, un système d'inéquations linéaires portant sur les dates de tir $\theta(e)$ de chaque événement $e \in E$ et sur les paramètres q , que nous appellerons *domaine de tir*. La construction d'un préfixe fini du dépliage du RdPT, comme décrit dans [CHA 06], produit des résultats similaires. C'est sur ce système d'inéquations que nous appliquons l'algorithme présenté par la suite, afin de déterminer les contraintes de conception. Au final, les contraintes de conception sur le module seront la conjonction de celles trouvées pour chacun des scénarios étudiés.

2.4. Domaine de tir d'un scénario et contraintes temporelles

Définition 3 (Domaine de tir d'un scénario) *Le domaine de tir d'un scénario E est un ensemble $I(\Theta, Q)$ d'inéquations, qui donne pour chaque événement $e \in E$ une ou plusieurs bornes minimales et maximales pour sa date de tir $\theta(e)$. Dans sa forme normale, un domaine de tir est une expression booléenne sous forme conjonctive, et les inéquations i , en conjonction ou en disjonction, ont la forme suivante :*

- $\theta(e_k) + \alpha(t) \leq \theta(e)$, pour la date de tir au plus tôt,
- $\theta(e) \leq \theta(e_l) + \beta(t)$, pour la date de tir au plus tard,

avec e_k et e_l deux évènements de E distincts de e , et t une transition de T .

Le domaine de tir (I) est donc une conjonction d'expressions booléennes. Pour la plupart, ces expressions sont des inéquations, cependant certaines peuvent être des disjonctions d'inéquations. En effet, soit un évènement e_t représentant le tir d'une transition t , cet évènement peut dépendre de jetons produits par les évènements e_k, \dots, e_l , dont les dates de productions sont indépendantes, et l'on aura donc une inéquation du type :

$$\theta(e_t) \leq \max(\theta(e_k), \dots, \theta(e_l)) + \beta(t)$$

L'opérateur $\max(\cdot)$ peut alors être décomposé en une disjonction d'inéquations :

$$\theta(e_t) \leq \theta(e_k) + \beta(t) \vee \dots \vee \theta(e_l) + \beta(t)$$

Contraintes temporelles

Comme évoqué dans la partie inférieure de la figure 1, un cahier des charges impose sur le système modélisé des contraintes temporelles à vérifier. Ces contraintes sont projetées sur les modules, et traduites en inéquations. Nous possédons donc un second système (ϕ) d'inéquations, sous forme conjonctive, correspondant aux propriétés temporelles à vérifier. Ces inéquations seront mises en forme de telle sorte que leur deux membres soient une somme entre des dates de tir $\theta(e)$, des paramètres q et des constantes.

Définition 4 (Contraintes temporelles projetées) *Étant donné un réseau de Petri N , les contraintes temporelles projetées sur N sont un système d'inéquations $\phi(\Theta, Q)$ sous forme normale conjonctive, dont les opérandes sont des dates de tir $\theta(t) \in \Theta$ des transitions $t \in T$, des paramètres $q \in Q$ et des constantes numériques.*

Définition 5 (Contraintes de conception) *Étant donné un réseau de Petri N , un scénario E de N et son domaine de tir I , des contraintes temporelles ϕ projetées sur N , les contraintes de conception de N sont un système d'inéquations $\psi(Q)$, sous forme normale conjonctive, dont les opérandes sont uniquement des paramètres $q \in Q$ et des constantes numériques, et tel que : $I \wedge \psi \Rightarrow \phi$.*

2.5. Algorithme de génération des contraintes de conception

Notations :

Soit $X(V)$ un ensemble d'inéquations portant sur des variables V . Notons $[X(V)]_v$ la substitution dans $X(V)$ des variables V par leur valuation v .

Soit P_W la projection sur l'ensemble des variables W , définie par :

$$P_W(X(V, W)) = \{w \in W \mid \exists v \in V, [X(V, W)]_{(v, w)}\}$$

Théorème 1 (Problème) À partir du domaine de tir $I(\Theta, Q)$ d'un scénario et des contraintes temporelles projetées $\phi(\Theta, Q)$, on détermine les contraintes de conception $\psi(Q)$, ne dépendant que des paramètres Q , et telles que $I(\Theta, Q) \wedge \psi(Q) \Rightarrow \phi(\Theta, Q)$. Soit P_Q la projection sur l'ensemble des paramètres Q , la condition $\neg P_Q(I(\Theta, Q) \wedge \neg\phi(\Theta, Q))$ est nécessaire et suffisante pour établir $\psi(Q)$. On a donc :

$$\psi(Q) = \neg P_Q(I(\Theta, Q) \wedge \neg\phi(\Theta, Q))$$

Preuve de la correction :

Pour toute valuation $\nu \in \mathbb{R}^{+Q}$ des paramètres vérifiant $[\psi(Q)]_\nu$, il faut vérifier que toute solution $\sigma \in \mathbb{R}^\Theta$ vérifie $[I(\Theta, Q)]_{(\sigma, \nu)} \Rightarrow [\phi(\Theta, Q)]_{(\sigma, \nu)}$.

Puisque $[\psi(Q)]_\nu$, on a $[\neg P_Q(I(\Theta, Q) \wedge \neg\phi(\Theta, Q))]_\nu$. Si ν n'est pas dans la projection, alors $\forall \sigma \in \mathbb{R}^\Theta, [\neg(I(\Theta, Q) \wedge \neg\phi(\Theta, Q))]_{(\sigma, \nu)}$.

D'où en développant : $\neg[I(\Theta, Q)]_{(\sigma, \nu)} \vee [\phi(\Theta, Q)]_{(\sigma, \nu)}$, ce qui est équivalent à : $[I(\Theta, Q)]_{(\sigma, \nu)} \Rightarrow [\phi(\Theta, Q)]_{(\sigma, \nu)}$.

Preuve de la complétude :

Raisonnons par l'absurde en considérant une valuation $\nu \in \mathbb{R}^{+Q}$ qui ne vérifie pas $\psi(Q)$, mais qui est solution du **Problème**, c'est à dire telle que $\forall \sigma \in \mathbb{R}^\Theta, [I(\Theta, Q)]_{(\sigma, \nu)} \Rightarrow [\phi(\Theta, Q)]_{(\sigma, \nu)}$.

Puisque ν ne vérifie pas $\psi(Q)$, ν vérifie $P_Q(I(\Theta, Q) \wedge \neg\phi(\Theta, Q))$. Si ν est dans la projection sur Q , cela signifie qu'il existe une valuation $\sigma' \in \mathbb{R}^\Theta$ telle que $[I(\Theta, Q) \wedge \neg\phi(\Theta, Q)]_{(\sigma', \nu)}$.

Ceci peut s'écrire sous la forme : $\neg(\neg[I(\Theta, Q)]_{(\sigma', \nu)} \vee [\phi(\Theta, Q)]_{(\sigma', \nu)})$, ce qui est encore équivalent à : $\neg([I(\Theta, Q)]_{(\sigma', \nu)} \Rightarrow [\phi(\Theta, Q)]_{(\sigma', \nu)})$, d'où la contradiction avec les hypothèses initiales. Les contraintes ψ calculées délimitent donc tout l'ensemble des solutions au problème.

Principe de l'algorithme

L'algorithme implémente la solution du **Problème** qui est $\psi(Q) = \neg P_Q(I(\Theta, Q) \wedge \neg\phi(\Theta, Q))$. La projection P_Q est réalisée en éliminant successivement par déduction (principe de Fourier-Motzkin) dans $I(\Theta, Q) \wedge \neg\phi(\Theta, Q)$ toutes les variables Θ . Finalement, on détermine la solution en prenant la négation du résultat.

Notations utilisées dans l'algorithme

Dans cet algorithme, les fonctions $l_d()$ et $l_g()$ fournissent respectivement le membre droit et le membre gauche d'une inéquation. Toutes les inéquations i traitées sont de la forme : $i = (l_g(i) \sim l_d(i))$ avec $\sim \in \{\leq, <\}$.


```

1  $\overline{\psi} \leftarrow \emptyset$ 
2  $\overline{\phi} \leftarrow non(\phi)$ 
3 Pour Chaque  $\varphi \in \overline{\phi}$  Faire
4   Soit  $\overline{\psi}_k$  un système d'inéquations sous forme disjonctive
5    $\overline{\psi}_k \leftarrow \varphi$ 
6   Tant que  $\exists i \in \overline{\psi}_k, \exists e_t \in E, \theta(e_t) \in l_d(i) \cup l_g(i)$  (avec  $t$  "maximum") Faire
7     Si  $\theta(e_t) \in l_d(i) \cap l_g(i)$  Alors
8       Supprimer  $\theta(e_t)$  de  $i$ 
9     Sinon Si  $\theta(e_t) \in l_d(i)$  Alors
10      Soit  $M \subset (I)$  l'ensemble des inéquations telles que :
11       $\forall j \in M, l_g(j) = \theta(e_t)$ 
12       $M$  est une forme conjonctive des valeurs maximales de  $\theta(e_t)$ 
13      Pour Chaque  $j \in M$  Faire
14         $h \leftarrow i[l_d(j)/\theta(e_t)]$ 
15         $M \leftarrow M[h/j]$ 
16      Fin Pour
17       $\overline{\psi}_k \leftarrow \overline{\psi}_k[M/i]$ 
18       $\overline{\psi}_k \leftarrow dij(\overline{\psi}_k)$ 
19    Sinon
20      Soit  $M \subset (I)$  l'ensemble des inéquations telles que :
21       $\forall j \in M, l_d(j) = \theta(e_t)$ 
22       $M$  est une forme conjonctive des valeurs minimales de  $\theta(e_t)$ 
23      Pour Chaque  $j \in M$  Faire
24         $h \leftarrow i[l_g(j)/\theta(e_t)]$ 
25         $M \leftarrow M[k/j]$ 
26      Fin Pour
27       $\overline{\psi}_k \leftarrow \overline{\psi}_k[M/i]$ 
28       $\overline{\psi}_k \leftarrow dij(\overline{\psi}_k)$ 
29    Fin Si
30  Fin Tant que
31   $\overline{\psi} \leftarrow \overline{\psi} \vee \overline{\psi}_k$ 
32 Fin Pour
33 Retourner  $non(\overline{\psi})$ 

```

Algorithme 1 : Génération des contraintes de conception

On considère de plus, des fonctions de substitution : $F[t/x]$ qui signifie que l'on substitue la variable x par t dans l'expression F .

Enfin, on se donne deux fonctions de manipulation d'expressions logiques. $non(.)$ qui donne la négation d'un ensemble d'inéquations, en inversant le sens des inéquations et en remplaçant les conjonctions (respectivement les disjonctions) par des disjonctions (respectivement des conjonctions); et $dij(.)$ qui met un système d'inéquations sous une forme disjonctive.

Remarque

Dans les inéquations des contraintes, les dates des évènements doivent être remplacées dans l'ordre inverse d'apparition dans le scénario, afin que toutes les éliminations possibles soient effectuées (premier cas de l'alternative). Cet ordre est l'ordre partiel connu entre les évènements du scénario. Si l'on note les évènements e_t selon cet ordre, il s'agit alors d'éliminer en priorité celui dont t est le plus élevé.

Nous illustrons dans la section suivante cette méthode et cet algorithme sur un cas d'étude.

3. Cas d'étude

Ce cas d'étude a été extrait, sans modification, d'une application industrielle représentant un système transformationnel, impliquant des tâches A , B , C qui échangent des données par le biais de deux canaux de communication i_1 et i_2 . Ce système est soumis à des contraintes temporelles portant sur les durées d'exécution des tâches, les délais de transmissions ainsi que sur les occurrences des évènements.

3.1. Modélisation informelle

Le cahier des charges a été donné par l'industriel sous la forme d'une machine à état, présentée sur la figure 2, et d'un ensemble de contraintes temporelles portant sur les durées de séjours dans les états ainsi que sur certaines durées de transmissions. Certaines durées sont connues d'autres non.

Sont connus, le temps d'exécution de la tâche A , qui varie entre 2 et 5 ms , le temps d'exécution de la tâche B , qui est de 10 ms , le temps d'exécution de la tâche C , qui est de 8 ms , et le délai de transmission de i_1 , qui est de 20 ms .

Par ailleurs, ce système doit satisfaire certaines contraintes :

- Le vieillissement maximum de i_1 en entrée de B (relativement à la date de réception de eA) doit être de 30 ms ;
- le vieillissement maximum de i_2 en entrée de B (relativement à la date de réception de eC) doit être de 50 ms ;
- i_1 et i_2 en entrée de B ne doivent pas être reçues avec plus de 20 ms d'écart ;

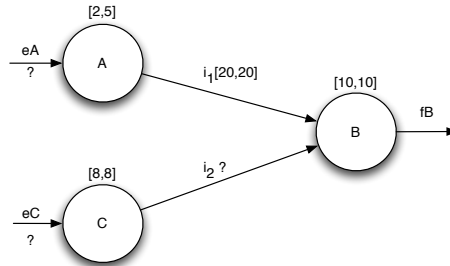


Figure 2. Cahier des charges

– le temps de traversée maximum du système est de 80 *ms*.

Le délai de transmission de i_2 n'est par contre pas connu. Nous allons donc dans cette étude considérer deux paramètres i_2m et i_2M représentant respectivement la borne minimale et la borne maximale de ce délai de transmission.

3.2. Modélisation de l'application sous forme de réseau de Petri

On cherche dans un premier temps à modéliser de façon formelle cette machine à états par un réseau de Petri T-temporel paramétré. On peut relever dans ce cahier des charges les caractéristiques suivantes :

– Certaines données temporelles ne sont pas connues. On aura donc au niveau des transitions des valeurs constantes et des valeurs paramétrées.

– Les tâches seront modélisées par le triplet (*transition, place, transition*) pour représenter l'entrée dans la tâche, sa durée et sa fin. Par exemple la tâche *A* sera modélisée par (eA, A, fA)

– La fin de transmissions des données i_1 et i_2 amène le contrôle du réseau dans les états i_1enB et i_2enB . Ces états sont nécessaires pour modéliser le fait que la tâche *B* peut ne pas les prendre en compte immédiatement comme l'indique les contraintes exprimées sur le vieillissement de ces données.

Le cahier des charges peut donc être modélisé par le réseau de la figure 3. Le scénario étudié dans cet exemple est constitué d'une occurrence de tir de chaque transition du réseau.

Le but de cette étude est de déterminer les conditions sur les paramètres du système, qui permettent d'assurer que les contraintes précédentes sont nécessairement vérifiées. Les paramètres du système sont i_2m et i_2M , ainsi que les dates $\theta(eA)$ et $\theta(eC)$ de réception des données eA et eC en entrée de *A* et de *C* (c'est à dire les dates de tir des transitions associées, eA et eC). Étant donné que les contraintes sont relatives aux dates de réception de eA et de eC , on cherchera uniquement des conditions sur la différence $\theta(eA) - \theta(eC)$.

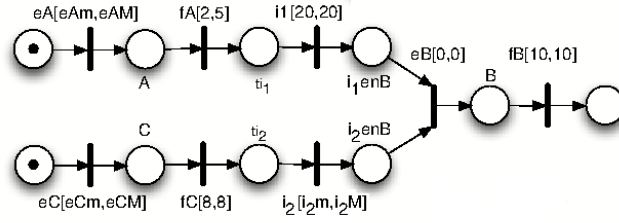


Figure 3. Modélisation formelle

3.3. Domaine de tir et contraintes temporelles

Par un processus d'analyse du réseau de Petri utilisant la logique linéaire, nous déterminons pour chaque transition, les bornes minimales et maximales de sa date de tir. Nous déterminons ainsi les dates de tir $\theta(fA)$, $\theta(i_1)$, $\theta(fC)$, $\theta(i_2)$, $\theta(eB)$ et $\theta(fB)$, des transitions du réseau de Petri de la figure 3, en fonction des paramètres i_2m , i_2M , $\theta(eA)$ et $\theta(eC)$, ce qui forme le système d'inéquations (I) sous forme conjonctive :

$$\theta(eA) + 2 \leq \theta(fA) \leq \theta(eA) + 5 \quad (1)$$

$$\theta(fA) + 20 \leq \theta(i_1) \leq \theta(fA) + 20 \quad (2)$$

$$\theta(eC) + 8 \leq \theta(fC) \leq \theta(eC) + 8 \quad (3)$$

$$\theta(fC) + i_2m \leq \theta(i_2) \leq \theta(fC) + i_2M \quad (4)$$

$$\theta(i_1) \leq \theta(eB) \quad (5)$$

$$\theta(i_2) \leq \theta(eB) \quad (6)$$

$$\theta(eB) \leq \theta(i_1) \quad \vee \quad \theta(eB) \leq \theta(i_2) \quad (7)$$

$$\theta(eB) + 10 \leq \theta(fB) \leq \theta(eB) + 10 \quad (8)$$

Nous devons ensuite interpréter les contraintes du problème et les traduire également en inéquations. La première contrainte $C1$ s'interprète ainsi : la donnée issue de eA doit être inférieure (relativement à l'origine temporelle $\theta(eA)$) à 30 ms lorsqu'elle est utilisée par B . Cette donnée est utilisée dès que l'autre donnée issue de eC est arrivée, c'est à dire dès que la transition eB est franchie. Nous en déduisons l'inéquation suivante :

$$\theta(eB) \leq \theta(eA) + 30$$

De même pour la contrainte $C2$, concernant le vieillissement maximal de i_2 :

$$\theta(eB) \leq \theta(eC) + 50$$

La contrainte $C3$ spécifie que les deux données i_1 et i_2 , en entrée de B, ne doivent pas arriver avec plus de 20 ms d'écart. Nous en déduisons la contrainte suivante $|\theta(i_1) - \theta(i_2)| \leq 20$, ce qui peut encore s'écrire :

$$-20 \leq \theta(i_1) - \theta(i_2) \leq 20$$

Enfin, la contrainte $C4$ spécifie que le temps maximum de traversée du système ne doit pas excéder 80 ms , ce qui s'écrit : $\theta(fB) \leq \min(\theta(eA), \theta(eC)) + 80$. L'opérateur \min peut être supprimé, créant ainsi une conjonction de deux inéquations :

$$\theta(fB) \leq \theta(eA) + 80$$

$$\theta(fB) \leq \theta(eC) + 80$$

Les inéquations précédentes forme le système d'inéquations (ϕ) des contraintes temporelles, qui est également sous forme conjonctive.

3.4. Détermination des contraintes de conception

A partir des deux systèmes d'inéquations précédents, nous allons déterminer les contraintes de conception que les paramètres du système devront vérifier, afin que les contraintes initiales soient nécessairement vérifiées. Appliquons pour cela l'algorithme 1

Contrainte C1

$$\varphi_1 = \theta(eB) \leq \theta(eA) + 30 \quad \longrightarrow \quad \overline{\varphi_1} = \theta(eA) + 30 < \theta(eB)$$

A l'aide des inéquations 1,2,3,4 et 7, on en déduit :

$$(I) \wedge \overline{\varphi_1} \Rightarrow \underbrace{\theta(eA) + 30 < \theta(eA) + 25 \quad \vee \quad \theta(eA) + 30 < \theta(eC) + i_2M + 8}_{\psi_1}$$

D'où la contrainte de conception :

$$\psi_1 = \theta(eA) + 25 \leq \theta(eA) + 30 \quad \wedge \quad \theta(eC) + i_2M + 8 \leq \theta(eA) + 30$$

La première est automatiquement vérifiée, la seule contrainte de conception à prendre en compte est donc :

$$\boxed{i_2M - 22 \leq \theta(eA) - \theta(eC)} \quad (9)$$

Contrainte C2

Pour l'inéquation $\varphi_2 = \theta(eB) \leq \theta(eC) + 50$, nous utilisons la même méthode et nous obtenons les contraintes de conception suivantes :

$$\boxed{\theta(eA) - \theta(eC) \leq 25} \quad (10)$$

$$\boxed{i_2M \leq 42} \quad (11)$$

Contrainte C3

Pour la contrainte C3, deux inéquations sont à vérifiées :

$$\varphi_3 = \theta(i_2) \leq \theta(i_1) + 20 \quad \text{et} \quad \varphi_4 = \theta(i_1) \leq \theta(i_2) + 20$$

Nous calculons $\overline{\varphi_3}$ et $\overline{\varphi_4}$, et à l'aide des inéquations 1, 2, 3 et 4, nous en déduisons :

$$\overline{\psi_3} = \theta(eA) + 42 < \theta(eC) + i_2M + 8$$

et :

$$\overline{\psi_4} = \theta(eC) + i_2m + 28 < \theta(eA) + 25$$

D'où, en prenant la négation, les contraintes de conception :

$$\boxed{i_2M - 34 \leq \theta(eA) - \theta(eC)} \quad (12)$$

$$\boxed{\theta(eA) - \theta(eC) \leq i_2m + 3} \quad (13)$$

Contrainte C4

Deux inéquations à vérifier :

$$\varphi_5 = \theta(fB) \leq \theta(eA) + 80 \quad \text{et} \quad \varphi_6 = \theta(fB) \leq \theta(eC) + 80$$

$$(I) \wedge \overline{\varphi_5} \Rightarrow \underbrace{\theta(eA) + 80 < \theta(eA) + 35 \quad \vee \quad \theta(eA) + 80 < \theta(eC) + i_2M + 18}_{\overline{\psi_5}}$$

$$(I) \wedge \overline{\varphi_6} \Rightarrow \underbrace{\theta(eC) + 80 < \theta(eA) + 35 \quad \vee \quad \theta(eC) + 80 < \theta(eC) + i_2M + 18}_{\overline{\psi_6}}$$

Nous déterminons alors ψ_5 et ψ_6 , et nous extrayons les trois contraintes de conception suivantes :

$$\boxed{i_2M - 62 \leq \theta(eA) - \theta(eC)} \quad (14)$$

$$\boxed{\theta(eA) - \theta(eC) \leq 45} \quad (15)$$

$$\boxed{i_2M \leq 62} \quad (16)$$

3.5. Résultats et interprétation

Les calculs précédents nous fournissent l'ensemble des contraintes de conception que les paramètres du systèmes doivent vérifier. Dans ce cas d'étude, cet ensemble de contraintes est uniquement conjonctif. Nous observons que certaines de ces

contraintes sont redondantes. Nous ne gardons que les plus restrictives, c'est à dire les inéquations 9, 10, 11 et 13 :

$$i_2M - 22 \leq \theta(eA) - \theta(eC)$$

$$\theta(eA) - \theta(eC) \leq 25$$

$$i_2M \leq 42$$

$$\theta(eA) - \theta(eC) \leq i_2m + 3$$

En les regroupant, nous obtenons au final les deux contraintes de conception suivantes :

$$\boxed{i_2M - 22 \leq \theta(eA) - \theta(eC) \leq \min(25, i_2m + 3)} \quad (17)$$

$$\boxed{i_2M \leq 42} \quad (18)$$

Elles s'ajoutent à la contrainte de conception déjà connue $0 \leq i_2m \leq i_2M$.

Interprétation des résultats

Le cahier des charges du système étudié spécifie des contraintes temporelles sur le système. Nous avons traduit ces contraintes en inéquations (ϕ) sur les dates de tir des transitions du réseaux de Petri modélisant le système. Par une analyse du réseau de Petri, nous avons déterminé le domaine de tir de ces transitions, c'est à dire un ensemble (I) d'inéquations, décrivant le fonctionnement du réseau. A partir de ces deux ensembles d'inéquations, nous avons déduit une nouvel ensemble (ψ) d'inéquations, en faisant remonter les contraintes (ϕ) vers les interfaces du système, c'est à dire en les exprimant uniquement en fonction des paramètres du système. Cet ensemble d'inéquations (ψ) ne porte en effet, que sur les quatre paramètres définis dans le système. Il permet, si ces inéquations sont vérifiées, d'assurer que les contraintes (ϕ) seront vérifiées et donc que le cahier des charges sera respecté.

Si l'on étudie ces inéquations, on s'aperçoit tout d'abord que l'on possède des bornes minimales et maximales pour le paramètre i_2M (borne de tir maximale pour la transition i_2), qui doit donc être compris entre $[0, 42]$. Une fois ce premier paramètre choisi, l'autre borne i_2m peut être choisie dans l'intervalle $[0, i_2M]$.

Les bornes de la transition i_2 sont alors spécifiées. La contrainte 17 permet de caractériser les entrées du système, en spécifiant l'écart minimum et maximum possible entre la réception des deux données d'entrée eA et eC .

4. Conclusion

Dans le cycle de développement d'un système temps réel, les étapes de décomposition architecturale rendent délicate (voir impossible) l'utilisation des méthodes de

model-checking classique, qui ne peuvent s'appliquer qu'au niveau du système global. De plus, les approches model-checking sont souvent mises à mal par l'explosion combinatoire qui se produit lorsque l'on veut calculer l'espace d'état du système dans sa globalité.

Aussi, nous proposons une méthode s'appliquant de manière paramétrée à un niveau modulaire de l'architecture opérationnelle d'un système temps réel. Cette méthode présente l'avantage de permettre la prise en compte d'un cahier des charges incomplètement défini nécessitant l'emploi de paramètres. Les contraintes temporelles du système sont projetées sur les modules (décrits par des réseaux de Petri T-temporels paramétrés) sous la forme de contraintes paramétrées. La méthode d'analyse du module est basée sur les scénarios et la logique linéaire. Elle permet de manipuler de façon symbolique un réseau de Petri T-temporel et de prendre en compte naturellement des variables temporelles paramétrées. La méthode s'applique sur un ensemble initial d'inéquations appelé domaine de tir qui est ensuite réduit par un solveur symbolique. La suite naturelle de ces travaux est d'étendre les méthodes classiques de model-checking symbolique des réseaux de Petri temporels, basées sur le calcul du graphe des zones ou du graphe des classes d'états, afin de prendre en compte également des paramètres.

5. Bibliographie

- [BER 91] BERTHOMIEU B., DIAZ M., « Modeling and Verification of Time Dependent Systems Using Time Petri Nets », *IEEE Trans. Softw. Eng.*, vol. 17, n° 3, 1991, p. 259–273, IEEE Press.
- [CHA 06] CHATAIN T., JARD C., « Complete Finite Prefixes of Symbolic Unfoldings of Safe Time Petri Nets », *ICATPN*, vol. 4024 de LNCS, june 2006, p. 125-145.
- [DEL 07] DELFIEU D., SOGBOHOSSOU M., TRAONOUEZ L.-M., REVOL S., « Parameterized study of a Time Petri Net », *Cybernetics and Information Technologies, Systems and Applications : CITSA 2007*, Orlando, Florida, USA, July 2007.
- [GAR 03] GARDEY G., ROUX O., ROUX O., « Using Zone Graph Method for Computing the State Space of a Time Petri Net », *First International Workshop on Formal Modelling and Analysis of Timed Systems FORMATS 2003*, Marseille, France, 2003.
- [GIR 87] GIRARD J. Y., « Linear logic », *Theoretical Computer Science*, vol. 50, 1987.
- [GIR 97] GIRAULT F., « Formalisation en logique linéaire du fonctionnement des réseaux de Petri », PhD thesis, Université Paul Sabatier, Toulouse, France, 1997.
- [MCM 95] MCMILLAN K. L., « A technique of state space search based on unfolding », *Form. Methods Syst. Des.*, vol. 6, n° 1, 1995, p. 45–65, Kluwer Academic Publishers.
- [MER 74] MERLIN P., « A Study of the Recoverability of Computer Systems », PhD thesis, University of California, Irvine, 1974.
- [PRA 99] PRADIN-CHÉZALVIEL B., VALETTE R., KÜNZLE L. A., « Formalisation de scénarios, réseaux de Petri et logique linéaire », *Journées Formalisation des Activités Concurrentes FAC'99*, CERT-IRIT-LAAS, Toulouse, 1999.